

# Mecânica dos Fluidos Computacional

## Escoamentos compressíveis

Iury Higor Aguiar da Igreja

Patricia Habib Hallak

Rafael Alves Bonfim de Queiroz

[patricia.hallak@ufjf.edu.br](mailto:patricia.hallak@ufjf.edu.br)

[patriciahallak@yahoo.com](mailto:patriciahallak@yahoo.com)

11 September 2020

► Resumo das equações adimensionalizadas:

► Continuidade:

$$\frac{\partial \rho'}{\partial t'} = -\rho' \frac{\partial V'}{\partial x'} - \rho' V' \frac{\partial (\ln A')}{\partial x'} - V' \frac{\partial \rho'}{\partial x'}$$

► Momentum:

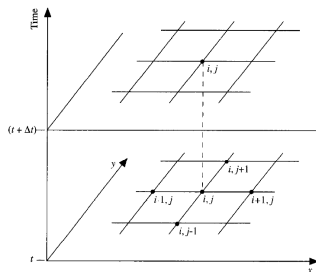
$$\frac{\partial V'}{\partial t'} = -V' \frac{\partial V'}{\partial x'} - \frac{1}{\gamma} \left( \frac{\partial T'}{\partial x'} + \frac{T'}{\rho'} \frac{\partial \rho'}{\partial x'} \right)$$

► Energia:

$$\frac{\partial T'}{\partial t'} = -V' \frac{\partial T'}{\partial x'} - (\gamma - 1) T' \left[ \frac{\partial V'}{\partial x'} + V' \frac{\partial (\ln A')}{\partial x'} \right]$$

## Step -2 - Método das diferenças finitas

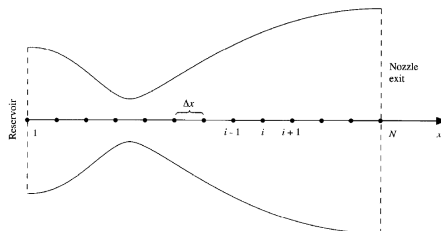
- ▶ técnica MacCormack para marcha no tempo. Técnica preditora-corretora de avanço no tempo, explícita com precisão de segunda ordem no espaço e tempo.
- ▶ Tem-se um esquema de marcha no tempo explícito, onde as variáveis no tempo  $t$  são conhecidas e as no tempo  $t + \Delta t$  são calculadas com as do tempo  $t$ .



$$\phi_{i,j}^{t+\Delta t} = \phi_{i,j}^t + \left( \frac{\partial \phi}{\partial t} \right)_{avg} \Delta t$$

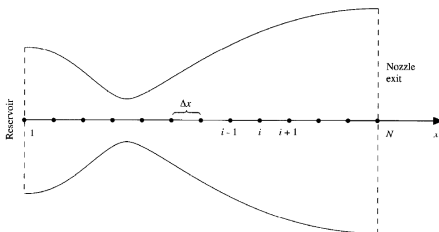
## Step -2 - Método das diferenças finitas

### Discretização espacial:



- ▶ o nó 1 está sobre o reservatório.
- ▶ o nó  $N$  é o da saída do bocal.
- ▶ o índice  $i$  indica o índice dos nós.

## Step -2 - Método das diferenças finitas

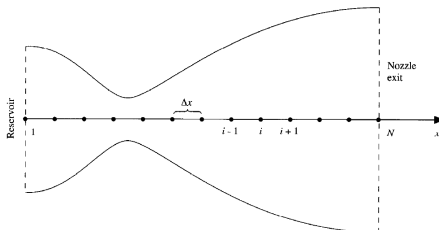


- ▶ Passo predictor (o símbolo ' será omitido nas equações): as derivadas espaciais são configuradas com diferenças para frente (*forward differences*):
  - ▶ Equação de continuidade:

$$\frac{\partial \rho'}{\partial t'} = -\rho' \frac{\partial V'}{\partial x'} - \rho' V' \frac{\partial (\ln A')}{\partial x'} - V' \frac{\partial \rho'}{\partial x'}$$

$$\left( \frac{\partial \rho}{\partial t} \right)_i^t = -\rho_i^t \frac{V_{i+1}^t - V_i^t}{\Delta x} - \rho_i^t V_i^t \frac{\ln A_{i+1} - \ln A_i}{\Delta x} - V_i^t \frac{\rho_{i+1}^t - \rho_i^t}{\Delta x}$$

## Step -2 - Método das diferenças finitas



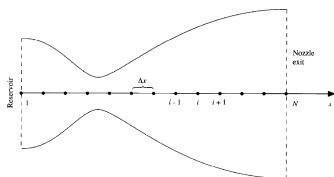
- Passo predictor (o símbolo ' será omitido nas equações)

- *Momentum:*

$$\frac{\partial V'}{\partial t'} = -V' \frac{\partial V'}{\partial x'} - \frac{1}{\gamma} \left( \frac{\partial T'}{\partial x'} + \frac{T'}{\rho'} \frac{\partial \rho'}{\partial x'} \right)$$

$$\left( \frac{\partial V}{\partial t} \right)_i^t = -V_i^t \frac{V_{i+1}^t - V_i^t}{\Delta x} - \frac{1}{\gamma} \left( \frac{T_{i+1}^t - T_i^t}{\Delta x} + \frac{T_i^t}{\rho_i^t} \frac{\rho_{i+1}^t - \rho_i^t}{\Delta x} \right)$$

## Step -2 - Método das diferenças finitas



- Passo predictor (o símbolo ' será omitido nas equações)
  - Equação de energia:

$$\frac{\partial T'}{\partial t'} = -V' \frac{\partial T'}{\partial x'} - (\gamma - 1) T' \left[ \frac{\partial V'}{\partial x'} + V' \frac{\partial (\ln A')}{\partial x'} \right]$$

$$\left( \frac{\partial T}{\partial t} \right)_i^t = -V_i^t \frac{T_{i+1}^t - T_i^t}{\Delta x} - (\gamma - 1) T_i^t \left( \frac{V_{i+1}^t - V_i^t}{\Delta x} + V_i^t \frac{\ln A_{i+1} - \ln A_i}{\Delta x} \right)$$

## Step -2 - Método das diferenças finitas

Obtem-se os valores "previstos" para  $\rho$ ,  $V$  e  $T$  (quantidades com barras) para o passo  $t + \Delta t$ :

$$\bar{\rho}_i^{t+\Delta t} = \rho_i^t + \left( \frac{\partial \rho}{\partial t} \right)_i^t \Delta t$$

$$\bar{V}_i^{t+\Delta t} = V_i^t + \left( \frac{\partial V}{\partial t} \right)_i^t \Delta t$$

$$\bar{T}_i^{t+\Delta t} = T_i^t + \left( \frac{\partial T}{\partial t} \right)_i^t \Delta t$$

$\rho_i^t$ ,  $V_i^t$  e  $T_i^t$  são valores conhecidos no tempo  $t$ , as quantidades  $\left( \frac{\partial}{\partial t} \right)_i^t$  são fornecidas pelas equações anteriores.



## Step -2 - Método das diferenças finitas

### ► Passo "corretor"

Retoma-se as equações diferenciais parciais e substitui-se as derivadas espaciais pelas diferenças anteriores (*rearward differences*). Obtem-se os valores "previstos" das derivadas temporais (valores com as barras).

$$\frac{\partial \rho'}{\partial t'} = -\rho' \frac{\partial V'}{\partial x'} - \rho' V' \frac{\partial (\ln A')}{\partial x'} - V' \frac{\partial \rho'}{\partial x'}$$

$$\frac{\partial V'}{\partial t'} = -V' \frac{\partial V'}{\partial x'} - \frac{1}{\gamma} \left( \frac{\partial T'}{\partial x'} + \frac{T'}{\rho'} \frac{\partial \rho'}{\partial x'} \right)$$

$$\frac{\partial T'}{\partial t'} = -V' \frac{\partial T'}{\partial x'} - (\gamma - 1) T' \left[ \frac{\partial V'}{\partial x'} + V' \frac{\partial (\ln A')}{\partial x'} \right]$$

## Step -2 - Método das diferenças finitas

► Passo corretor

$$\frac{\partial \rho'}{\partial t'} = -\rho \frac{\partial V'}{\partial x'} - \rho' V' \frac{\partial (\ln A')}{\partial x'} - V' \frac{\partial \rho'}{\partial x'}$$

$$\begin{aligned} \left( \frac{\partial \bar{\rho}}{\partial t} \right)_i^{t+\Delta t} &= -\bar{\rho}_i^{t+\Delta t} \frac{\bar{V}_i^{t+\Delta t} - \bar{V}_{i-1}^{t+\Delta t}}{\Delta x} + \\ &-\bar{\rho}_i^{t+\Delta t} \bar{V}_i^{t+\Delta t} \frac{\ln A_i - \ln A_{i-1}}{\Delta x} - \bar{V}_i^{t+\Delta t} \frac{\bar{\rho}_i^{t+\Delta t} - \bar{\rho}_{i-1}^{t+\Delta t}}{\Delta x} \end{aligned}$$

## Step -2 - Método das diferenças finitas

► Passo "corretor"

$$\frac{\partial V'}{\partial t'} = -V' \frac{\partial V'}{\partial x'} - \frac{1}{\gamma} \left( \frac{\partial T'}{\partial x'} + \frac{T'}{\rho'} \frac{\partial \rho'}{\partial x'} \right)$$

$$\begin{aligned} \left( \frac{\partial V}{\partial t} \right)_i^{t+\Delta t} &= -\bar{V}_i^{t+\Delta t} \frac{\bar{V}_i^{t+\Delta t} - \bar{V}_{i-1}^{t+\Delta t}}{\Delta x} - \\ &\frac{1}{\gamma} \left( \frac{\bar{T}_i^{t+\Delta t} - \bar{T}_{i-1}^{t+\Delta t}}{\Delta x} + \frac{\bar{T}_i^{t+\Delta t}}{\bar{\rho}_i^{t+\Delta t}} \frac{\bar{\rho}_i^{t+\Delta t} - \bar{\rho}_{i-1}^{t+\Delta t}}{\Delta x} \right) \end{aligned}$$

## Step -2 - Método das diferenças finitas

► Passo "corretor"

$$\frac{\partial T'}{\partial t'} = -V' \frac{\partial T'}{\partial x'} - (\gamma - 1) T' \left[ \frac{\partial V'}{\partial x'} + V' \frac{\partial (\ln A')}{\partial x'} \right]$$

$$\left( \frac{\partial \bar{T}}{\partial t} \right)_i^{t+\Delta t} = -\bar{V}_i^{t+\Delta t} \frac{\bar{T}_i^{t+\Delta t} - \bar{T}_{i-1}^{t+\Delta t}}{\Delta x} - (\gamma - 1) \bar{T}_i^{t+\Delta t} \times \left( \frac{\bar{V}_i^{t+\Delta t} - \bar{V}_{i-1}^{t+\Delta t}}{\Delta x} + \bar{V}_i^{t+\Delta t} \frac{\ln A_i - \ln A_{i-1}}{\Delta x} \right)$$

## Step -2 - Método das diferenças finitas

### ► Passo corretor

As médias das derivadas ficam (médias dos passos "preditor" e "corretor"):

$$\left(\frac{\partial \rho}{\partial t}\right)_{av} = 0.5 \left[ \left(\frac{\partial \rho}{\partial t}\right)_i^t + \left(\frac{\partial \rho}{\partial t}\right)_i^{t+\Delta t} \right]$$

$$\left(\frac{\partial V}{\partial t}\right)_{av} = 0.5 \left[ \left(\frac{\partial V}{\partial t}\right)_i^t + \left(\frac{\partial V}{\partial t}\right)_i^{t+\Delta t} \right]$$

$$\left(\frac{\partial T}{\partial t}\right)_{av} = 0.5 \left[ \left(\frac{\partial T}{\partial t}\right)_i^t + \left(\frac{\partial T}{\partial t}\right)_i^{t+\Delta t} \right]$$

## Step -2 - Método das diferenças finitas

- Passo corretor

Calculam-se as quantidades no tempo  $t + \Delta t$ :

$$\rho_i^{t+\Delta t} = \rho_i^t + \left( \frac{\partial \rho}{\partial t} \right)_{av} \Delta t$$

$$V_i^{t+\Delta t} = V_i^t + \left( \frac{\partial V}{\partial t} \right)_{av} \Delta t$$

$$T_i^{t+\Delta t} = T_i^t + \left( \frac{\partial T}{\partial t} \right)_{av} \Delta t$$

## Escolha do passo de tempo

Para um sistema de equações é hipérbólico linear existe uma restrição para a estabilidade da solução numérica explícita (número de Courant  $C = c \frac{\Delta t}{\Delta x} \leq 1$ ).

O problema em questão é governado por um sistema de equações parciais não linear. Neste caso, a restrição acima para um sistema linear, é uma orientação geral.

Critério de Courant-Friedrichs-Lowry (CFL):

$$\Delta t = C \frac{\Delta x}{a + V}$$

Para um esquema numérico explícito, a estabilidade é garantida para  $C \leq 1$ .

A restrição acima simplesmente afirma que  $\Delta t$  deve ser menor ou, no máximo, igual ao tempo que uma onda sonora leva para se mover de um ponto da grade para o próximo.

$$\Delta t = C \frac{\Delta x}{a + V}$$

A escolha do passo de tempo será com base na relação acima. Nota-se que  $\Delta x$ , para o problema em questão, é constante, mas  $V$  e  $a$  são variáveis. Assim, em pontos distintos, tem-se:

$$(\Delta t)_i^t = C \frac{\Delta x}{a_i^t + V_i^t}$$

$$(\Delta t)_{i+1}^t = C \frac{\Delta x}{a_{i+1}^t + V_{i+1}^t}$$

Os valores  $(\Delta t)_i^t$  e  $(\Delta t)_{i+1}^t$  são, geralmente, diferentes. Assim, tem-se duas possibilidades para a implementação do passo de tempo.



- Passo de tempo com os valores locais das variáveis.

Para se utilizar as equações

$$\bar{\rho}_i^{t+\Delta t} = \rho_i^t + \left( \frac{\partial \rho}{\partial t} \right)_i^t \Delta t$$

$$\bar{V}_i^{t+\Delta t} = V_i^t + \left( \frac{\partial V}{\partial t} \right)_i^t \Delta t$$

$$\bar{T}_i^{t+\Delta t} = T_i^t + \left( \frac{\partial T}{\partial t} \right)_i^t \Delta t$$

$$\rho_i^{t+\Delta t} = \rho_i^t + \left( \frac{\partial \rho}{\partial t} \right)_{av} \Delta t$$

$$V_i^{t+\Delta t} = V_i^t + \left( \frac{\partial V}{\partial t} \right)_{av} \Delta t$$

$$T_i^{t+\Delta t} = T_i^t + \left( \frac{\partial T}{\partial t} \right)_{av} \Delta t$$

pode-se empregar valores distintos de  $(\Delta_i^t)$  distintos para cada nó. As variáveis avançam nos esquemas de solução com seus próprios valores locais de passos de tempo. Esta aproximação não acompanha os aspectos transientes do escoamento e não pode ser usada para uma solução precisa do fluxo instável. Todavia, se o objetivo é atingir soluções em regime estacionário, este esquema frequentemente gera convergência rápida.

- Passo de tempo único para o avanço da solução.

$$\Delta t = \text{minimum}(\Delta_1^t, \Delta_2^t, ..., \Delta_i^t, ..., \Delta_N^t)$$

Embora esta aproximação necessite de mais passos de tempo para garantir a convergência e a solução em regime estacionário, ela fornece informações sobre a fase transiente no processo de solução.

Exercício:  $C = 0,5$

## Condições iniciais

*"In theory, these initial conditions can be purely arbitrary... in your choice, you are encouraged to use any knowledge you may have about a given problem in order to intelligently pick some initial conditions."* A escolha "inteligente" das condições iniciais promove uma convergência rápida e evita fortes gradientes no início do processo de solução.

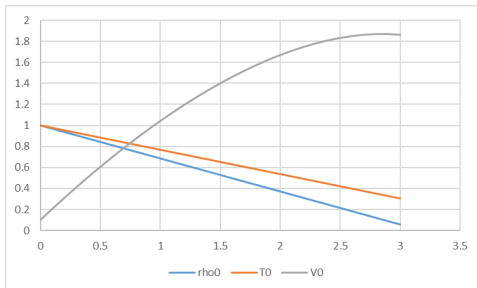
## Condições iniciais

Neste problema, sabe-se que  $\rho$  e  $T$  diminuem ao passo que a velocidade  $V$  aumenta quando o escoamento expande no bocal. Consequentemente, escolhem-se condições iniciais que *qualitativamente* se comporta da mesma forma. Assumem-se variações lineares de  $\rho$  e  $T$  variáveis com  $x$  para  $t = 0$ :

$$\rho = 1 - 0,3146x$$

$$T = 1 - 0,2314x$$

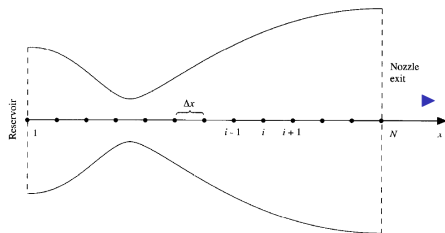
$$V = (0,1 + 1,09x) T^{1/2}$$



## Condições de contorno

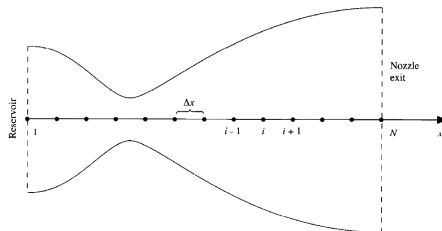
Sem a implementação física correta das condições de contorno e sua representação numérica própria, não se tem "esperança" de se obter uma solução numérica apropriada para o problema.

A escolha apropriada das condições de contorno é feita examinando-se as condições físicas para escoamento subsonico-superssonico isentropico do problema.



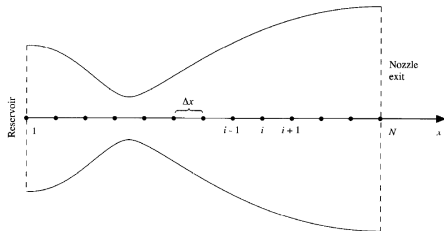
- ▶ Nó 1 está no reservatório (condição de contorno *inflow*): o escoamento sai do reservatório e entra no bocal.
- ▶ Nó  $N$  está no contorno *outflow*, saída do escoamento.

## Condições de contorno



- ▶ A velocidade do escoamento no nó 1 é muito lenta (valor subssônico). Este ponto corresponde a razão de área finita  $A_1/A^*$  e sua velocidade não pode ser considerada nula. Se fosse considerada nula, não existiria fluxo de massa entrando no bocal.
- ▶ Com base na última observação, o nó 1 não é visto como um ponto **exatamente** no reservatório. Por definição, o reservatório possui uma área "infinita" e, portanto, velocidade nula.

## Condições de contorno

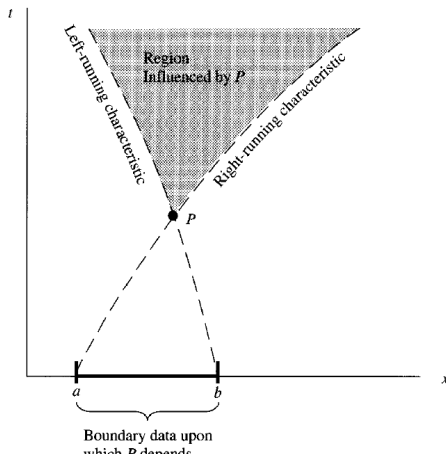


- Questão: quais quantidades do escoamento devem ser especificadas neste limite subsônico de *inflow* e quais devem ser calculadas como parte da solução?

## Condições de contorno

Resposta:

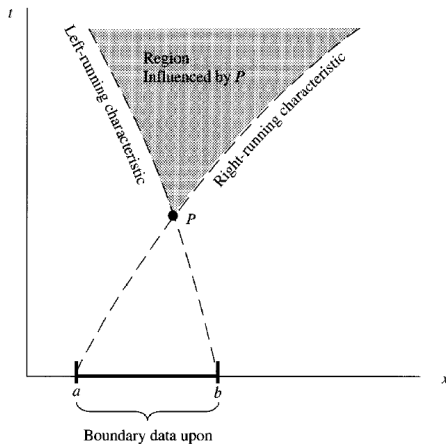
- Método das características para um escoamento transiente, invíscido e unidimensional, que é governado por equações hiperbólicas (há duas linhas caracterísiticas reais através de qualquer ponto no plano  $xt$ )





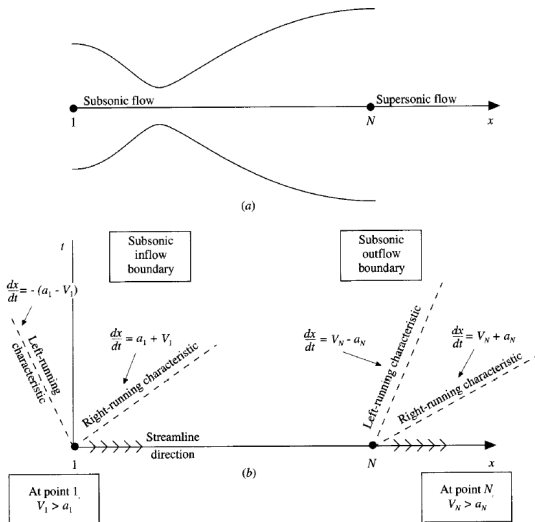
## Condições de contorno

- Há duas linhas características reais através de qualquer ponto no plano  $xt$ . Fisicamente, essas duas características representam ondas Mach infinitamente fracas que se propagam a montante e a jusante, respectivamente. Ambas as ondas estão se propagando na velocidade do som  $a$ .



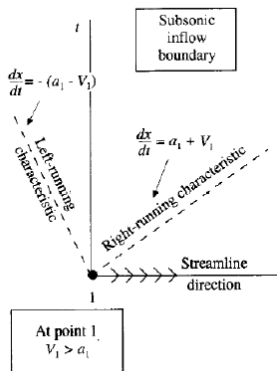
## Condições de contorno

- Método das características - há duas linhas características reais no plano  $xt$  ( observar os nós 1 e  $N$ ).



## Condições de contorno

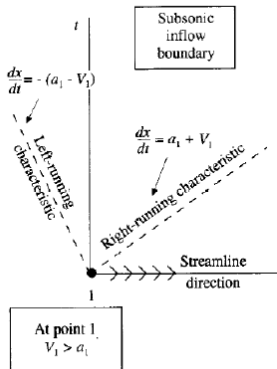
### ► Nó 1:



- Neste nó a velocidade local é subssônica ( $V_1 < a_1$ ). Conseqüentemente, a característica a esquerda (*left-running*) viaja no sentido contrário ao escoamento (*upstream*).

## Condições de contorno

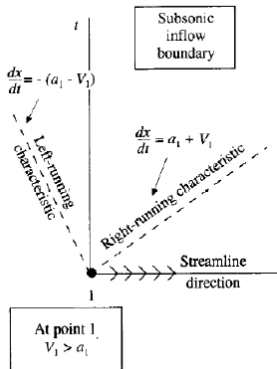
### ► Nó 1:



- Em outras palavras, a onda de Mach a esquerda que está viajando para a esquerda (em relação a um elemento fluido em movimento) na velocidade do som, facilmente segue seu caminho rio acima contra o fluxo subsônico de baixa velocidade, que está se movendo lentamente da esquerda para a direita.

## Condições de contorno

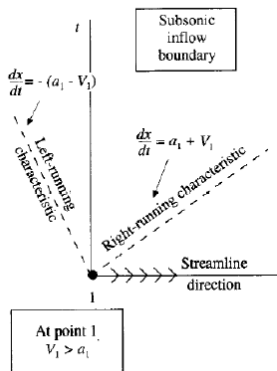
### ► Nó 1:



- Nota-se na Figura que a característica a esquerda viaja para a esquerda com uma velocidade combinada  $a_1 - V_1$ . Como o domínio do escoamento a ser calculado está contido entre os nós 1 e  $N$ , então no nó 1 esta onda se propaga para fora do domínio, se afastando deste.

## Condições de contorno

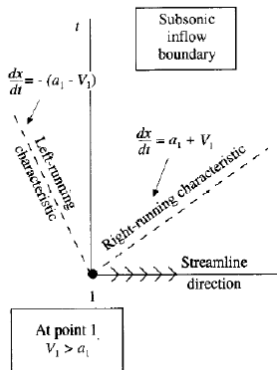
### ► Nó 1:



- A característica da direita, por outro lado, é uma onda de Mach que se propaga para a direita e, claramente, move-se para a direita por dois motivos:
  - o elemento fluido no nó 1 está se movendo para a direita;
  - a característica da direita está se movendo para a direita na velocidade do som relativa ao fluido elemento.

## Condições de contorno

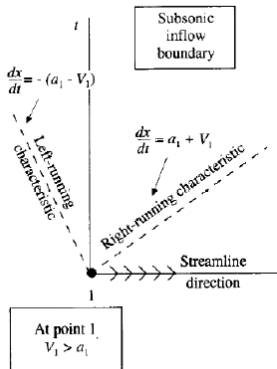
### ► Nó 1:



- Desta forma, a característica da direita propaga-se para a direita com a velocidade combinada  $a_1 + V_1$ , do nó 1 no sentido do domínio do problema.

## Condições de contorno

### ► Nó 1:

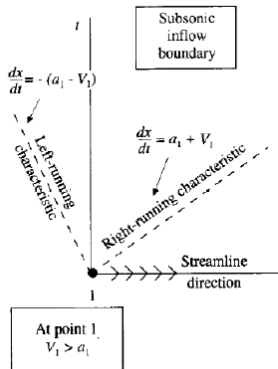


- Pelo método das características, percebe-se aquela de se propaga para dentro do domínio. Em um limite onde uma característica se propaga para o domínio, então o valor de uma variável dependente do escoamento deve ser especificado nesse limite.



## Condições de contorno

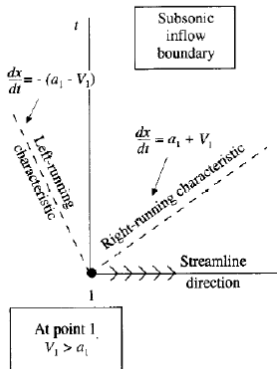
### ► Nó 1:



- Se uma característica se propaga para fora do domínio, então, o valor de outra variável dependente deve poder flutuar nesse limite, ou seja, essa variável deve ser calculada ao longo dos passos de tempo da simulação.

## Condições de contorno

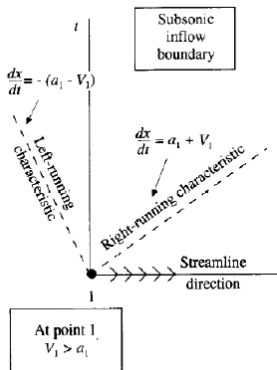
### ► Nó 1:



- Além da observação das características, nota-se a a line de corrente (*streamline*) está direcionada para dentro do domínio, através desta fronteira. Em termos de denotar o que deve e não deve ser especificado no contorno, a direção do linha de corrente desempenha o mesmo papel que a direção das características.

## Condições de contorno

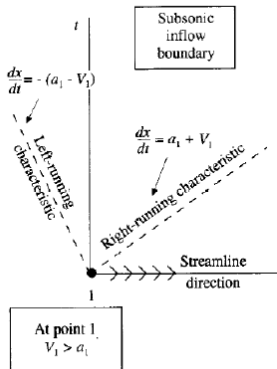
### ► Nó 1:



- A linha de corrente que se move para dentro do domínio no nó 1 estipula que o valor de uma segunda variável do escoamento deve ser estipulado neste contorno.

## Condições de contorno

### ► Nó 1:

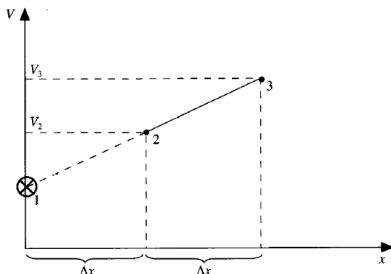


- **Conclusion:** at the subsonic inflow boundary, we must stipulate the values of two dependent flow-fields variables, whereas the value of one other variable must be allowed to float.

## Condições de contorno

- ▶ Contorno subsônico (ponto 1:  $V_1 < a_1$ )
  - ▶ Velocidade no ponto 1: deve oscilar para garantir o fluxo de massa no interior do bocal  $\rightarrow$  extrapolação linear. É calculado a partir de informações fornecidas pela solução do escoamento em pontos internos ao domínio.

$$\text{Slope} = \frac{V_3 - V_1}{\Delta x} \rightarrow V_1 = 2V_2 - V_3$$

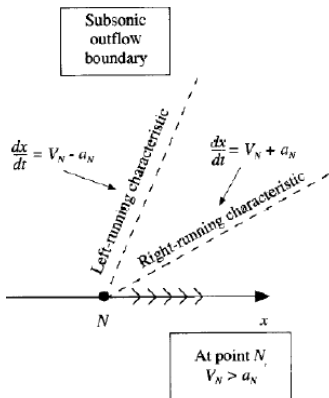


## Condições de contorno

- ▶ Contorno subsônico (ponto 1:  $V_1 < a_1$ )
  - ▶ Densidade e temperatura  $\rightarrow$  fixos. Como o ponto 1 está bem próximo do reservatório, os valores de  $\rho$  e  $T$  são os seus respectivos valores de estagnação ( $\rho_o$  e  $T_o$ ). Serão valores fixos, independentes do tempo, adimensionais:  $\rho_1 = 1$ ,  $T_1 = 1$

## Condições de contorno

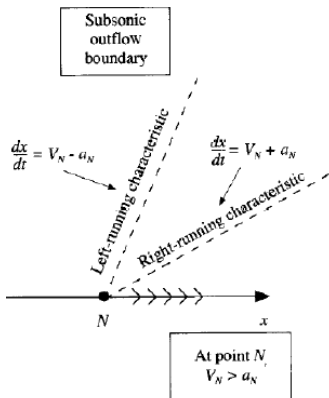
### ► Nó N:



- A característica da esquerda se propaga para a esquerda na velocidade do som em relação a um elemento fluido. Todavia, como o próprio elemento fluido possui uma velocidade supersônica, a característica da esquerda é carregada "rio abaixo" (*downstream*) a velocidade  $V_N - a_N$ .

## Condições de contorno

### ► Nó N:



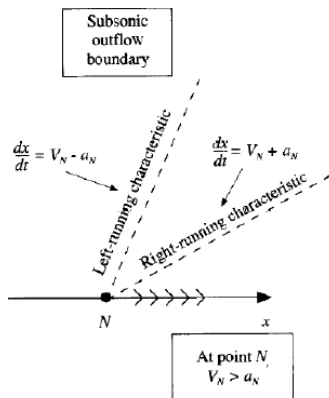
- A característica da direita propaga-se para a direita na velocidade do som  $a$  em relação ao elemento fluido e, portanto, é varrida rio abaixo (*downstream*) na velocidade  $V_N + a_N$ . Portanto, na fronteira do fluxo supersônico, tem-se ambas as características propagando-se para fora do domínio; o mesmo acontece com a linha de corrente no ponto  $N$ .



## Condições de contorno

### ► Nó N:

- Portanto, não há variáveis que necessitem que seus valores sejam prescritos nesta fronteira. Todas as variáveis devem oscilar neste ponto.



## Condições de contorno

- ▶ Contorno supersônico (ponto N): todas as variáveis devem oscilar  $\rightarrow$  extrapolação linear baseada nas variáveis do escoamento.
  - ▶  $V_N = 2V_{N-1} - V_{N-2}$
  - ▶  $\rho_N = 2\rho_{N-1} - \rho_{N-2}$
  - ▶  $T_N = 2T_{N-1} - T_{N-2}$

### Geometria

- ▶  $A = A(x)$ : parabólica, fixa, independe do tempo

$$A = 1 + 2,2(x - 1,5)^2 \quad 0 \leq x \leq 3$$

$x = 1,5$  estrangulamento da garganta;  $x < 1,5$  seção convergentes;  $x > 1,5$  seções divergentes.